

Tumorregister München



- ▶ Inzidenz und Mortalität
- ▶ Auswahlmatrix
- ▶ Homepage
- ▶ English

ICD-10 C81-C96: Systemische Neubildungen

Survival

Diagnosejahr	1988-1997	1998-2020
Patienten	3 848	32 728
Erkrankungen	3 874	33 449
Fälle in Auswertung	3 445	22 256
Erstellungsdatum	14.04.2022	
Datenbankexport	20.12.2021	
Population	4,92 Mio.	



Tumorregister München
Bayerisches Krebsregister - Regionalzentrum München
am Klinikum Großhadern/IBE
Marchioninstr. 15
81377 München
Deutschland

<https://www.tumorregister-muenchen.de>

<https://www.tumorregister-muenchen.de/facts/surv/sC8196G-ICD-10-C81-C96-Systemische-Neubildungen-Survival.pdf>

Index der Abbildungen und Tabellen

Abb./Tab.		Seite
1a	Relatives Überleben nach Diagnosezeitraum (Grafik)	3
1b	Überleben nach Diagnosezeitraum (Tabelle)	3
2a	Überleben nach Geschlecht (Grafik)	4
2b	Überleben nach Geschlecht (Tabelle)	4
2c	Konditionales Überleben nach Geschlecht (Grafik)	5
2d	Konditionales Überleben nach Geschlecht (Tabelle)	5
3a	Beobachtetes Überleben nach Altersgruppe (Grafik)	6
3b	Relatives Überleben nach Altersgruppe (Grafik)	6
3c	Überleben nach Altersgruppe (Tabelle)	7
4a	Relatives Überleben nach ICD-10-Diagnose (Grafik)	8
4b	Überleben nach ICD-10-Diagnose (Tabelle)	8
5a	Zeit bis zur ersten Progression (CI) (Grafik)	10
5b	Zeit bis zur ersten Progression (Tabelle)	10
5c	Beobachtetes Überleben ab Progression (Grafik)	11
5d	Beobachtetes Überleben ab Progression (Tabelle)	11
5e	Beobachtetes Überleben ab Progression nach Zeitraum Progression (Grafik)	12
5f	Beobachtetes Überleben ab Progression nach Zeitraum Progression (Tabelle)	12

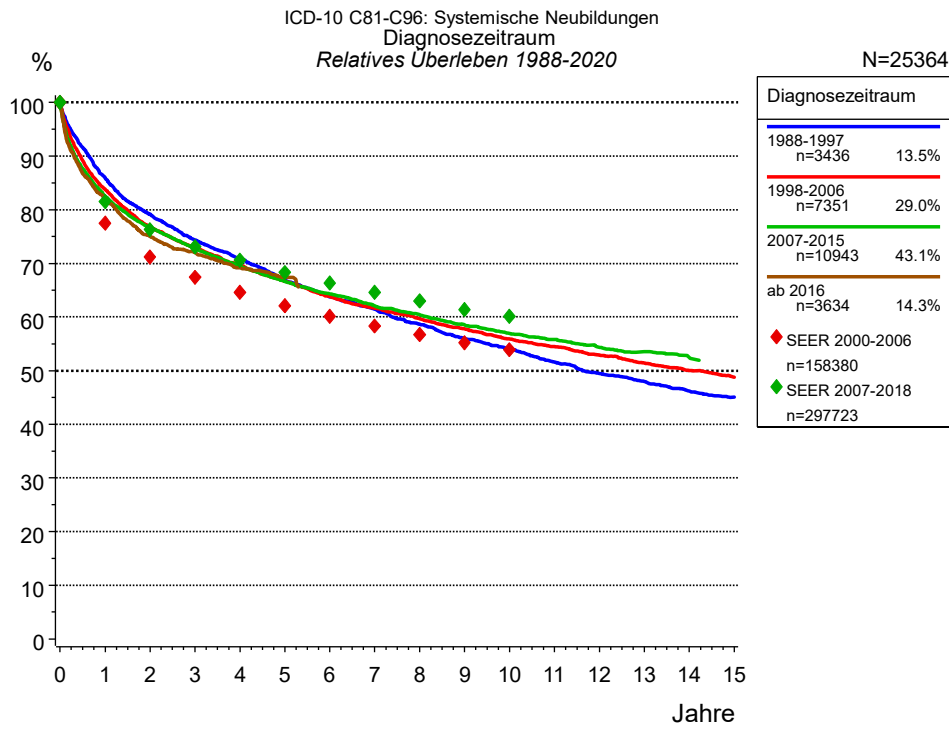


Abb. 1a. Relatives Überleben für Patienten mit systemische Neubildungen nach Diagnosezeitraum. In der Auswertung befinden sich 25 364 Patienten aus den Diagnosejahrgängen 1988 bis 2020.

Die farbigen Symbole repräsentieren zum Vergleich die Survival-Ergebnisse des SEER-Programms (Surveillance, Epidemiology, and End Results) des National Cancer Institute (NCI) der USA, zusammengefasst für die Diagnosejahrgänge 2000 bis 2018.

Eingeschlossen sind alle mit klinischen Daten registrierten Patienten, also keine DCO-Fälle. Die Daten ab 1998 haben mit dieser DCO-Einschränkung einen Bevölkerungsbezug. Die historischen Daten der vorausgehenden Perioden können stark selektiert sein, so dass univariate Vergleiche der dargestellten Zeitperioden nur mit Vorsicht zu interpretieren sind. Die verschiedenen Zeitperioden werden dennoch aufbereitet, um insbesondere den Langzeitverlauf des relativen Überlebens im Vergleich zu anderen Tumoren zugänglich zu machen.

Jahre	Diagnosezeitraum							
	1988-1997 n=3436		1998-2006 n=7351		2007-2015 n=10943		ab 2016 n=3634	
	beob. %	rel. %	beob. %	rel. %	beob. %	rel. %	beob. %	rel. %
0	100.0	100.0	100.0	100.0	100.0	100.0	100.0	100.0
1	84.2	86.0	82.0	83.8	80.5	82.6	80.0	82.0
2	76.2	79.2	73.6	76.7	73.2	76.7	71.8	75.1
3	70.3	74.4	68.7	72.9	68.2	72.8	67.5	72.0
4	65.9	70.9	64.4	69.6	63.8	69.5	63.5	69.2
5	61.0	66.8	60.6	66.7	60.0	66.7	60.6	67.4
6	57.3	63.7	57.0	63.8	56.7	64.3		
7	54.3	61.5	54.2	61.7	53.7	62.1		
8	51.0	58.6	51.5	59.7	51.3	60.5		
9	48.0	56.0	49.0	57.8	48.7	58.6		
10	45.6	54.0	46.6	55.9	46.4	56.9		
11	43.0	51.6	44.6	54.5	44.6	55.8		
12	40.6	49.4	42.5	52.8	42.6	54.4		
13	38.8	48.0	40.6	51.4	41.1	53.6		
14	36.8	46.2	38.8	50.0	39.5	52.5		
15	35.4	45.1	37.1	48.8				
Median	8.4		8.6		8.5			

Tab. 1b. Beobachtetes (beob.) und relatives (rel.) Überleben für Patienten mit systemische Neubildungen nach Diagnosezeitraum im Zeitraum 1988-2020 (N=25 364).

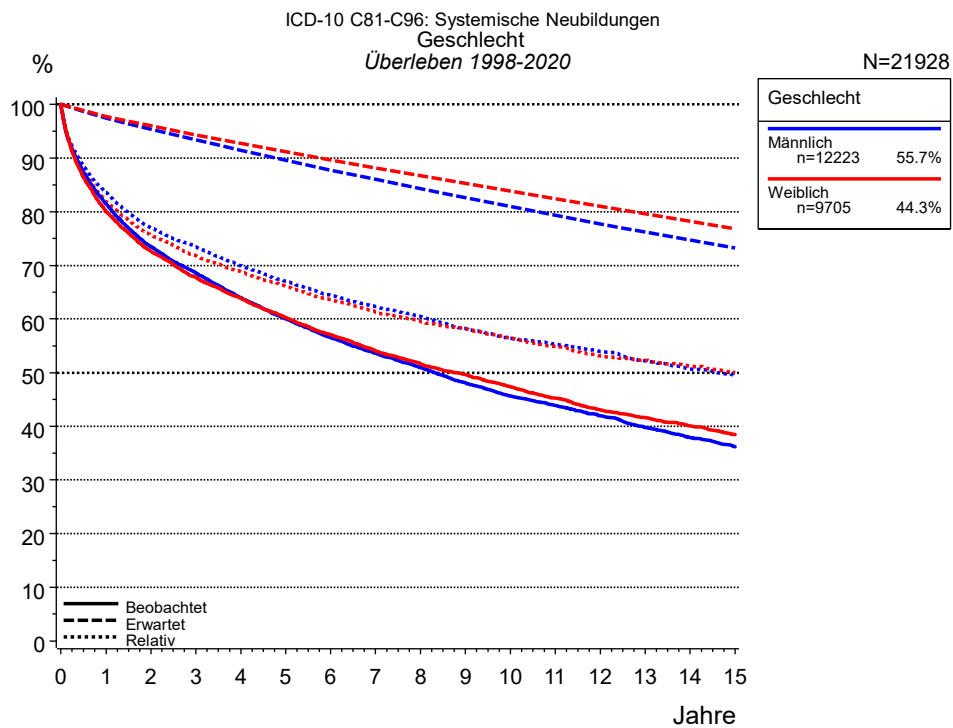


Abb. 2a. Beobachtetes, erwartetes und relatives Überleben für Patienten mit systemische Neubildungen nach Geschlecht. In der Auswertung befinden sich 21 928 Patienten aus den Diagnosejahrgängen 1998 bis 2020.

Jahre	Geschlecht			
	Männlich n=12223		Weiblich n=9705	
	beob. %	rel. %	beob. %	rel. %
0	100.0	100.0	100.0	100.0
1	81.5	83.6	80.2	82.0
2	73.5	77.1	72.6	75.6
3	68.6	73.4	67.8	71.8
4	64.0	70.0	63.8	68.8
5	60.1	67.0	60.3	66.1
6	56.5	64.4	57.1	63.6
7	53.6	62.3	54.1	61.3
8	51.0	60.5	51.7	59.6
9	48.1	58.2	49.6	58.2
10	45.7	56.4	47.4	56.5
11	43.9	55.3	45.3	54.9
12	41.9	53.9	43.1	53.1
13	39.8	52.2	41.6	52.3
14	37.9	50.7	40.0	51.1
15	36.2	49.4	38.4	49.9
Median	8.3		8.8	

Tab. 2b. Beobachtetes (beob.) und relatives (rel.) Überleben für Patienten mit systemische Neubildungen nach Geschlecht im Zeitraum 1998-2020 (N=21 928).

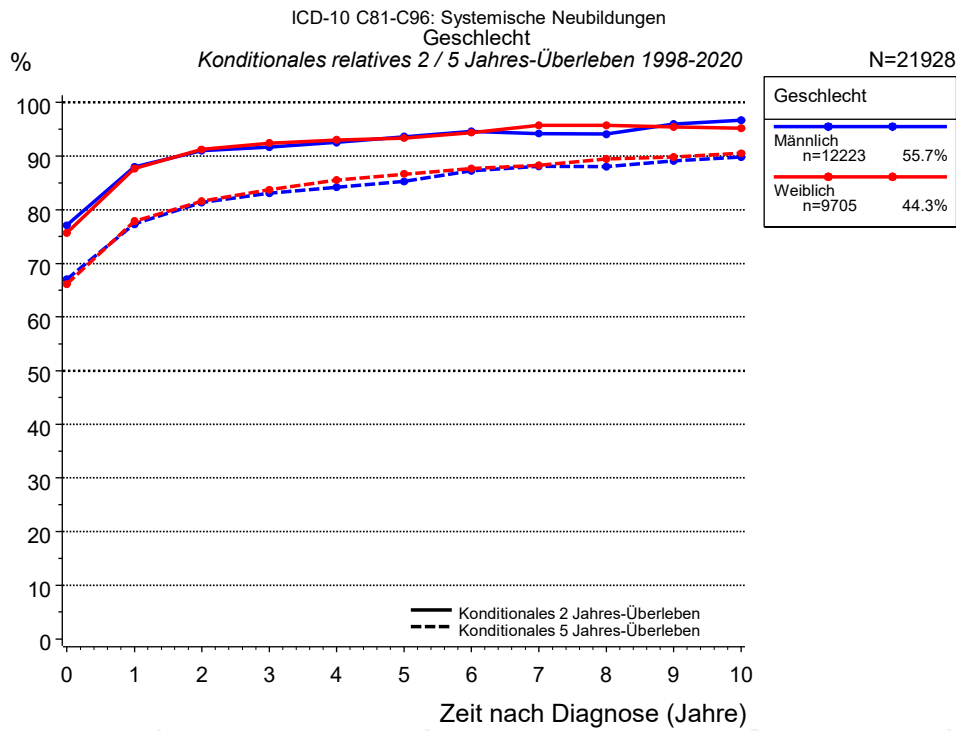


Abb. 2c. Konditionales relatives 2 / 5 Jahres-Überleben für Patienten mit systemische Neubildungen nach Geschlecht. 21 928 von 21 928 Patienten aus den Diagnosejahren 1998 bis 2020 besitzen Angaben zu diesem Merkmal.

Jahre	Geschlecht					
	n	Männlich		Weiblich		n
		Kond. Surv. %	2 J.	5 J.	Kond. Surv. %	
0	12223	77.1	67.0	9705	75.6	66.1
1	9606	88.0	77.3	7550	87.7	77.8
2	8394	91.0	81.4	6618	91.3	81.6
3	7575	91.6	83.1	5968	92.4	83.7
4	6761	92.6	84.2	5394	93.0	85.5
5	5981	93.6	85.3	4836	93.4	86.7
6	5260	94.6	87.3	4323	94.4	87.7
7	4659	94.2	88.1	3838	95.7	88.3
8	4071	94.1	88.1	3419	95.7	89.5
9	3505	96.0	89.1	2988	95.4	89.8
10	2991	96.7	89.8	2588	95.2	90.5

Tab. 2d. Konditionales Überleben für Patienten mit systemische Neubildungen nach Geschlecht im Zeitraum 1998-2020 (N=21 928).

Das konditionale relative Überleben repräsentiert die Überlebenschance z.B. nach 2 oder 5 Jahren im Vergleich zur Normalbevölkerung (=100 %) unter der Bedingung, eine bestimmte Zeit nach Diagnose eines Tumors (x-Achse in Abb. 2a) überlebt zu haben. Damit wird eine Aussage möglich, wie sich das Risiko durch die Tumorerkrankung für ein bestimmtes Patientenkollektiv verringert. So beträgt beispielsweise für Patienten in der Untergruppe Geschlecht=„Männlich“, die mindestens 3 Jahre nach Diagnose des Tumors am Leben sind, die konditionale relative 2 Jahres-Überlebensrate 91.6% (n=7 575).

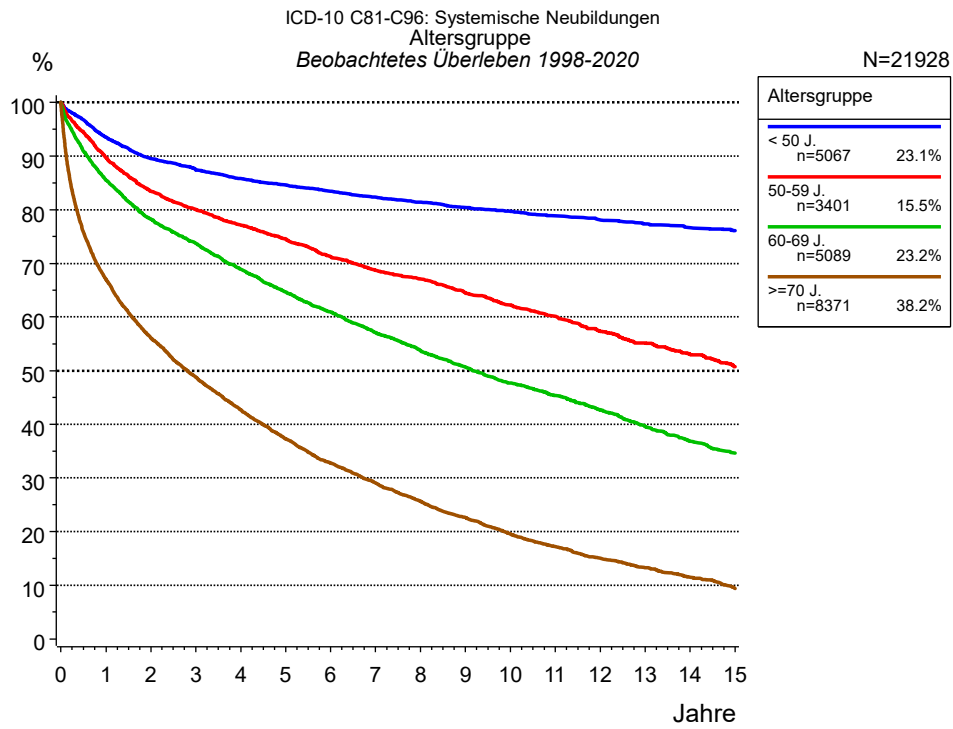


Abb. 3a. Beobachtetes Überleben für Patienten mit systemische Neubildungen nach Altersgruppe. In der Auswertung befinden sich 21 928 Patienten aus den Diagnosejahren 1998 bis 2020.

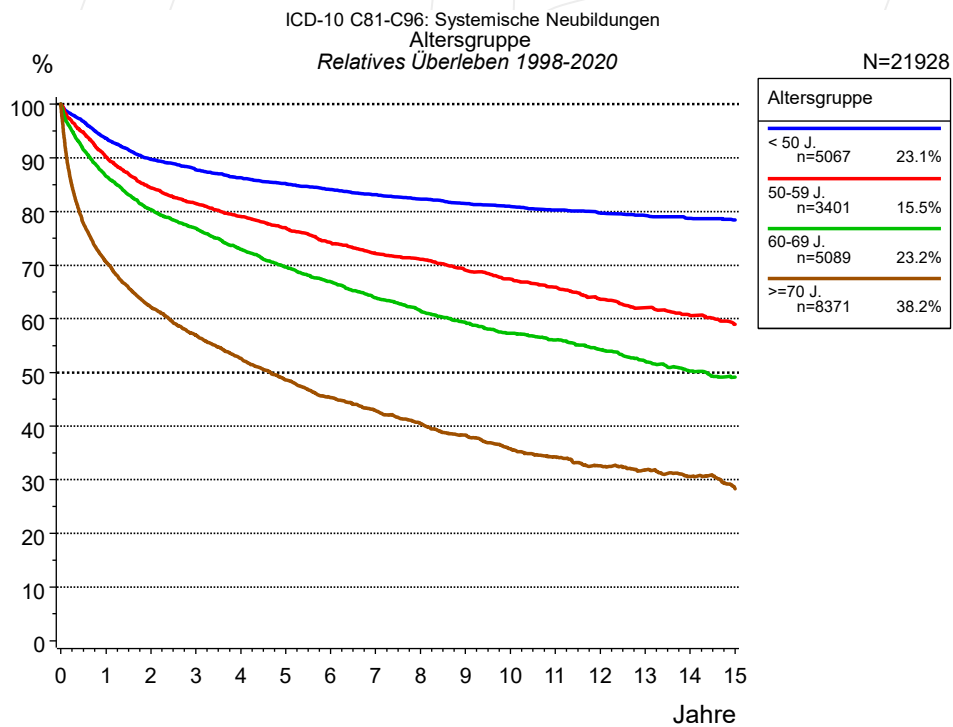


Abb. 3b. Relatives Überleben für Patienten mit systemische Neubildungen nach Altersgruppe. In der Auswertung befinden sich 21 928 Patienten aus den Diagnosejahren 1998 bis 2020.

Jahre	Altersgruppe							
	< 50 J. n=5067		50-59 J. n=3401		60-69 J. n=5089		>=70 J. n=8371	
	beob. %	rel. %	beob. %	rel. %	beob. %	rel. %	beob. %	rel. %
0	100.0	100.0	100.0	100.0	100.0	100.0	100.0	100.0
1	93.6	93.7	89.7	90.2	85.5	86.7	67.0	70.7
2	89.5	89.7	83.5	84.4	78.3	80.4	56.2	62.2
3	87.5	87.8	80.1	81.5	73.7	76.8	48.8	57.0
4	85.8	86.2	77.2	79.1	68.9	73.0	42.7	52.6
5	84.7	85.2	74.5	77.0	64.6	69.7	37.3	48.6
6	83.4	84.1	71.2	74.2	60.9	66.9	32.7	45.3
7	82.3	83.1	68.7	72.1	57.1	63.9	29.1	42.9
8	81.4	82.3	67.1	71.1	53.8	61.5	25.6	40.5
9	80.4	81.5	64.5	69.1	50.6	59.3	22.6	38.3
10	79.7	81.0	62.2	67.4	47.7	57.3	19.5	35.7
11	78.9	80.3	60.1	65.9	45.4	56.0	17.2	34.2
12	78.1	79.7	57.3	63.6	42.6	54.2	15.0	32.6
13	77.4	79.2	55.2	62.1	39.6	52.1	13.2	31.8
14	76.7	78.7	53.0	60.7	36.8	50.2	11.5	30.6
15	76.1	78.4	50.8	59.0	34.6	49.1	9.4	28.3
Median			15.5		9.2		2.8	

Tab. 3c. Beobachtetes (beob.) und relatives (rel.) Überleben für Patienten mit systemische Neubildungen nach Altersgruppe im Zeitraum 1998-2020 (N=21 928).

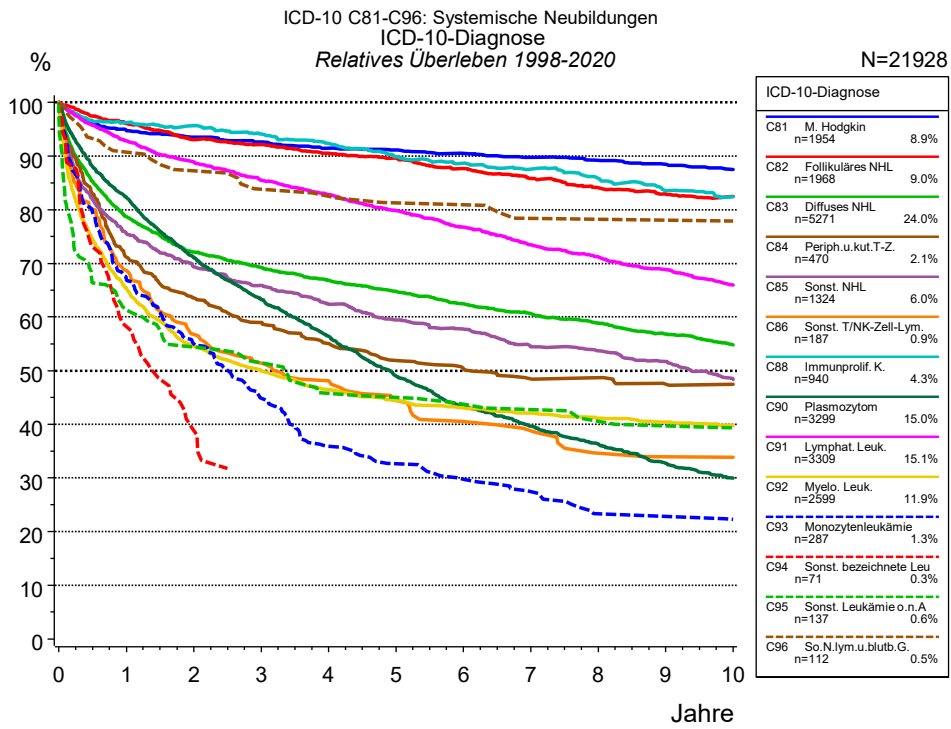


Abb. 4a. Relatives Überleben für Patienten mit systemische Neubildungen nach ICD-10-Diagnose. In der Auswertung befinden sich 21 928 Patienten aus den Diagnosejahrgängen 1998 bis 2020.

Jahre	ICD-10-Diagnose													
	C81 M. Hodgkin n=1954		C82 Follikuläres NHL n=1968		C83 Diffuses NHL n=5271		C84 Periph.u.kut.T-Z. n=470		C85 Sonst. NHL n=1324		C86 Sonst. T/NK-Zell-Lym. n=187		C88 Immunprolif. K. n=940	
	beob. %	rel. %	beob. %	rel. %	beob. %	rel. %	beob. %	rel. %	beob. %	rel. %	beob. %	rel. %	beob. %	rel. %
0	100.0	100.0	100.0	100.0	100.0	100.0	100.0	100.0	100.0	100.0	100.0	100.0	100.0	100.0
1	94.2	94.9	94.4	96.0	76.4	78.7	69.7	71.2	73.3	75.6	67.2	68.6	93.8	96.2
2	92.4	93.5	90.0	93.1	68.2	72.1	61.2	63.5	65.4	69.3	54.4	56.8	91.1	95.7
3	91.0	92.7	87.6	92.1	63.9	69.3	55.9	58.9	60.7	65.9	48.4	51.3	87.4	94.1
4	89.3	91.5	84.5	90.5	60.1	66.8	51.4	55.0	56.2	62.4	44.7	48.1	83.6	92.4
5	88.5	91.1	82.3	89.6	56.8	64.7	47.6	51.9	52.3	59.4	40.0	44.4	79.4	89.9
6	87.4	90.5	79.0	87.7	53.5	62.5	45.4	50.4	49.7	57.7	35.6	40.5	76.4	88.7
7	86.2	89.8	75.9	85.9	50.6	60.6	43.3	48.5	46.2	54.6	34.0	38.8	73.5	87.6
8	85.1	89.2	73.0	84.1	47.9	58.8	43.0	48.7	44.3	53.7	29.4	34.6	70.2	85.8
9	84.0	88.5	70.6	82.9	45.1	56.8	41.3	47.5	41.9	51.7	28.4	33.9	66.5	83.5
10	82.5	87.5	68.8	82.5	42.5	54.8	40.9	47.4	38.3	48.3	28.4	33.8	64.0	82.4
Median			18.8		7.2		4.4		5.9		2.6		13.7	

Forts.	ICD-10-Diagnose													
	C90 Plasmozytom n=3299		C91 Lymphat. Leuk. n=3309		C92 Myelo. Leuk. n=2599		C93 Monozytenleu kämie n=287		C94 Sonst. bezeichnete Leuk. n=71		C95 Sonst. Leukämie o.n.A n=137		C96 So.N.lym.u.blu tb.G. n=112	
	Jahre	beob. %	rel. %	beob. %	rel. %	beob. %	rel. %	beob. %	rel. %	beob. %	rel. %	beob. %	rel. %	beob. %
0	100.0	100.0	100.0	100.0	100.0	100.0	100.0	100.0	100.0	100.0	100.0	100.0	100.0	100.0
1	80.1	82.3	90.8	92.8	63.8	65.4	65.1	67.1	57.8	58.2	60.3	61.3	90.2	90.7
2	67.6	71.1	85.2	88.9	52.5	54.6	52.1	55.0	38.3	38.8	52.9	54.4	86.1	87.3
3	58.8	63.3	80.2	85.4	47.4	49.9	41.5	44.9			49.2	51.5	81.9	83.8
4	51.1	56.4	76.1	82.8	43.6	46.5	32.5	35.9			43.0	45.8	80.8	82.5
5	43.4	49.0	72.0	79.9	41.1	44.4	29.0	32.6			42.1	45.0	78.5	81.3
6	37.5	43.3	67.7	76.7	39.4	43.0	26.2	29.7			40.1	43.8	78.5	80.9
7	33.5	39.6	63.6	73.5	38.0	42.1	23.6	27.4			39.0	42.7	74.8	78.4
8	30.1	36.4	60.4	71.2	36.7	41.1	19.8	23.3			36.6	40.5	74.8	78.2
9	26.4	32.7	57.2	68.8	35.7	40.4	19.2	22.8			35.2	39.7	74.8	78.1
10	23.6	30.0	53.7	66.0	34.7	39.8	18.5	22.2			33.8	39.3	74.8	77.9
Median	4.1		11.4		2.4		2.3		1.4		2.7			

Tab. 4b. Beobachtetes (beob.) und relatives (rel.) Überleben für Patienten mit systemische Neubildungen nach ICD-10-Diagnose im Zeitraum 1998-2020 (N=21 928).

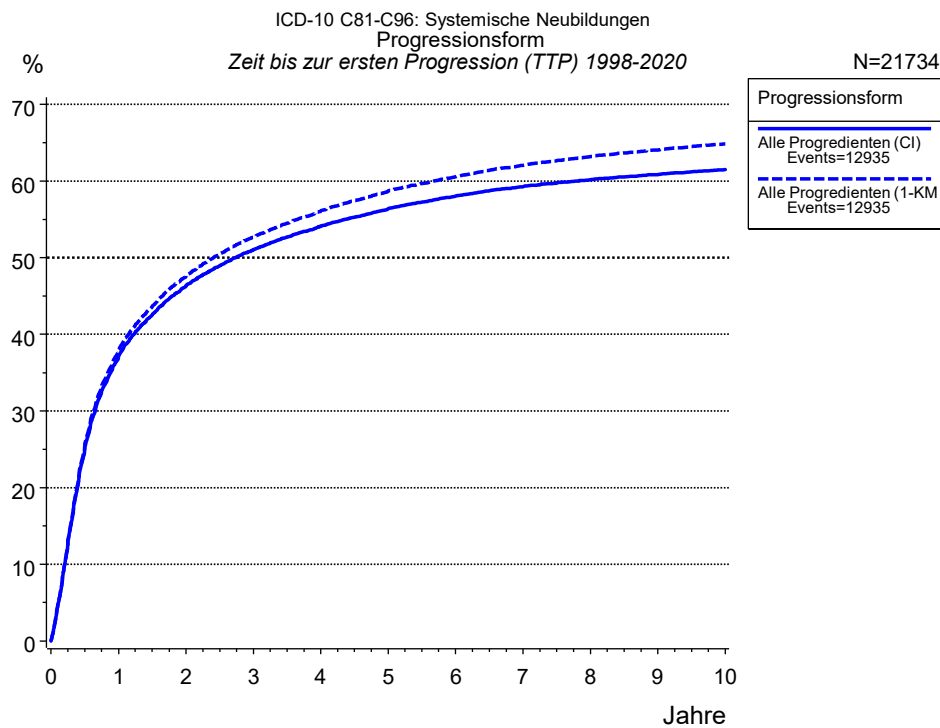


Abb. 5a. Zeit bis zum ersten Progressionsereignis für 21 734 Patienten mit systemische Neubildungen aus den Diagnosejahrgängen 1998 bis 2020 (bei soliden Tumoren nur M0) geschätzt als kumulative Inzidenzfunktion (CI, durchgezogene Linie) mit Tod als konkurrierendes Risiko und als umgekehrter Kaplan-Meier-Schätzer (1-KM, gestrichelte Linie). Die Häufigkeit der Ereignisse kann aufgrund von Untererfassung unterschätzt sein.

	Progressionsform	
	Alle Progredienten (CI)	Alle Progredienten (1-KM)
N	21734	21734
Events	12720	12720
konkurr.	2198	
Jahre	%	%
0	0.0	0.0
1	37.0	37.8
2	46.3	47.6
3	51.0	52.7
4	54.1	56.1
5	56.4	58.7
6	58.0	60.6
7	59.3	62.1
8	60.2	63.2
9	60.9	64.0
10	61.5	64.9

Tab. 5b. Zeit bis zur ersten Progression (CI) für Patienten mit systemische Neubildungen im Zeitraum 1998-2020 (N=21 734) mit gesamter Anzahl von Progressionsereignissen (Events) und von Todesfällen als konkurrierendes Risiko (konkurr.).

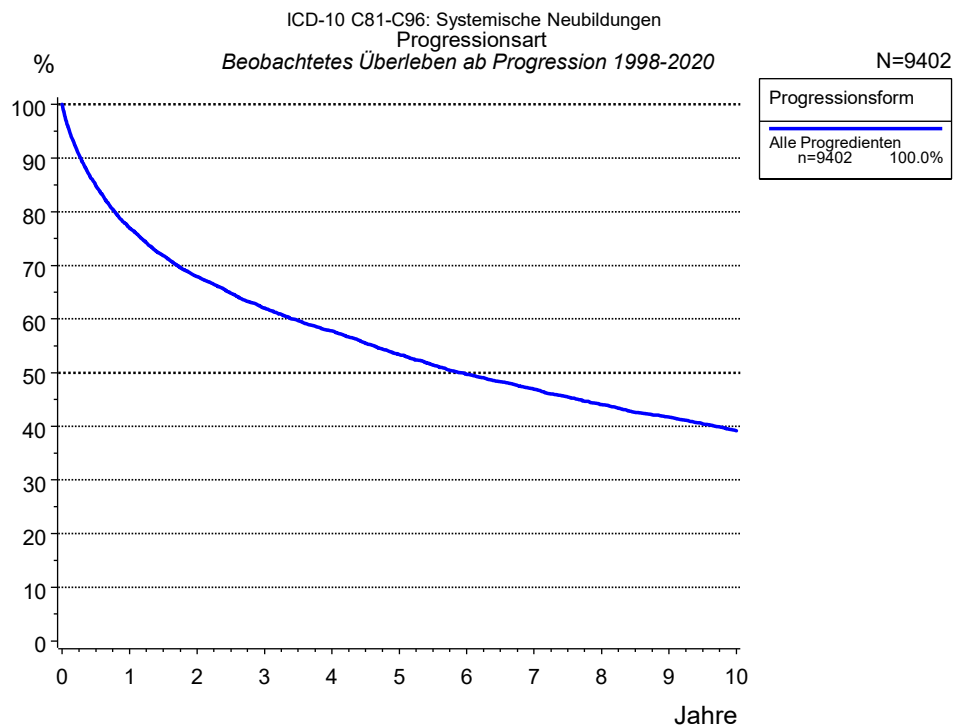


Abb. 5c. Beobachtetes Überleben ab erster Progression für 9 402 Patienten mit systemische Neubildungen aus den Diagnosejahrgängen 1998 bis 2020. Diese 9 402 Patienten, für die ein klinischer Hinweis auf ein Progressionsereignis im Krankheitsverlauf vorliegt, entsprechen 43,2 % der 21 745 ausgewerteten Personen. Nicht berücksichtigt sind 3 544 Patienten (16,3 %), bei denen die Progression dem Register erst mit der Todesbescheinigung bekannt wurde.

Die Dokumentation besitzt häufig nicht die sprachliche Schärfe, um bei soliden Tumoren Lokalrezidive, regionäre Lymphknotenrezidive und Metastasen als Ereignisse unterscheiden zu können. Häufig ist auch „nicht spezifiziert“ zu registrieren. „Alle Progredienten“ sind Patienten, bei denen mindestens ein Ereignis im Krankheitsverlauf bekannt ist (einschl. primärer M1-Befunde). Die Anzahl der tatsächlichen Progressionen wird dabei unterschätzt. Lokalrezidive oder Metastasen sind Ereignisse, deren Summe größer als 100 % ist, weil mehrere Ereignisse im Verlauf auftreten können, ein Patient also in mehreren Kurven berücksichtigt werden kann.

Progressionsform	
Jahre	Alle Progredienten n=9402 %
0	100.0
1	76.9
2	67.9
3	62.0
4	57.8
5	53.4
6	49.7
7	46.9
8	44.0
9	41.7
10	39.2

Tab. 5d. Beobachtetes Überleben ab erster Progression für Patienten mit systemische Neubildungen im Zeitraum 1998-2020 (N=9 402).

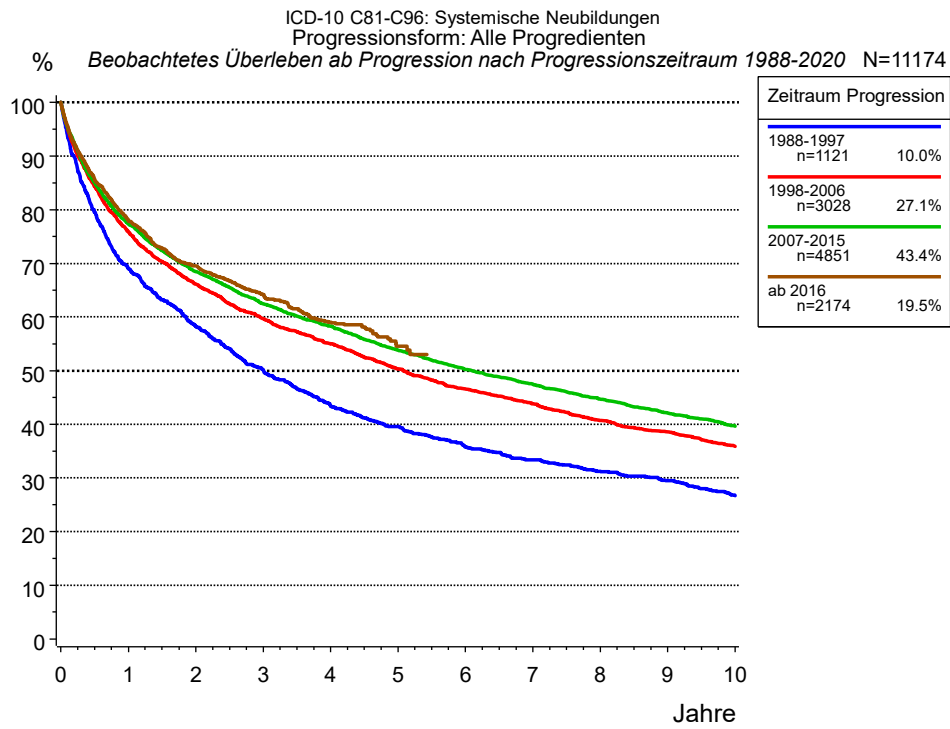


Abb. 5e. Beobachtetes Überleben ab erster Progression (Alle Progredienten) für 11 174 Patienten mit systemische Neubildungen aus den Diagnosejahrgängen 1988 bis 2020 nach Zeitraum Progression.

Jahre	Zeitraum Progression			
	1988-1997 n=1121 %	1998-2006 n=3028 %	2007-2015 n=4851 %	ab 2016 n=2174 %
0	100.0	100.0	100.0	100.0
1	69.2	75.9	77.4	78.1
2	58.2	66.1	68.4	69.5
3	50.2	59.6	62.5	64.2
4	43.4	55.0	58.3	59.0
5	39.6	50.3	53.8	54.5
6	35.8	46.6	50.2	
7	33.4	43.8	47.4	
8	31.2	40.7	44.7	
9	29.5	38.6	42.1	
10	26.7	35.9	39.6	

Tab. 5f. Beobachtetes Überleben ab erster Progression (Alle Progredienten) für Patienten mit systemische Neubildungen im Zeitraum 1988-2020 nach Zeitraum Progression (N=11 174).

Abkürzungen

TRM	Tumorregister München	
NCI	National Cancer Institute, USA	
SEER	Surveillance, Epidemiology, and End Results, USA	
UICC	Union for International Cancer Control, Genf	
DCO	Death certificate only	Diagnose ausschließlich aus Todesbescheinigung bekannt
k.A.	Keine Angabe	
o.n.A.	Ohne nähere Angabe	
OS	Overall/Observed Survival	Gesamtüberleben/beobachtetes Überleben (Kaplan-Meier-Schätzer) Beginn: Erstdiagnose Ereignis: Tod (alle Ursachen)
RS	Relative Survival	Relatives Überleben, relativ zur „Normalbevölkerung“, Quotient aus beobachtetem und zu erwartendem Überleben (Ederer II-Methode), Schätzung für das tumorspezifische Überleben
AS	Assembled Survival	Zusammengesetzte Darstellung des beobachteten, erwarteten, relativen Überlebens
CS	Conditional Survival	Konditionales Survival Überlebenswahrscheinlichkeit unter der Bedingung, einen bestimmten Zeitraum überlebt zu haben
TTP	Time to Progression	Zeit bis erste Progression Beginn: Erstdiagnose Ereignis (Progression): erste(s) Lokal-, Lymphknotenrezidiv, Metastase oder unspezifische Progression
1-KM		1 minus Kaplan-Meier-Schätzer („umgekehrter“ Kaplan-Meier-Schätzer)
CI		Kumulative Inzidenz Tod als konkurrierendes Ereignis (nach Kalbfleisch und Prentice)
PPS	Post-Progression Survival	Überleben ab erster Progression (Kaplan-Meier-Schätzer) Beginn (Progression): erste(s) Lokal-, Lymphknotenrezidiv, Metastase oder unspezifische Progression Ereignis: Tod (alle Ursachen)

Empfohlene Zitierweise

Tumorregister München. Überleben ICD-10 C81-C96: Systemische Neubildungen [Internet]. 2022 [aktualisiert 14.04.2022]. Abrufbar von: <https://www.tumorregister-muenchen.de/facts/surv/sC8196G-ICD-10-C81-C96-Systemische-Neubildungen-Survival.pdf>

Autorenrechte

Der Zugang zu den vom Tumorregister München im offenen Internet bereitgestellten Inhalten ist weltweit verfügbar und kostenfrei. Die Dokumente dürfen unter Benennung der Urheberschaft frei heruntergeladen, genutzt, kopiert, gedruckt oder verteilt werden.

Haftungsausschluss

Das Tumorregister München übernimmt keinerlei Gewähr für die Aktualität, Korrektheit, Vollständigkeit oder Qualität der im Internet bereitgestellten Inhalte.